

FIG. 1

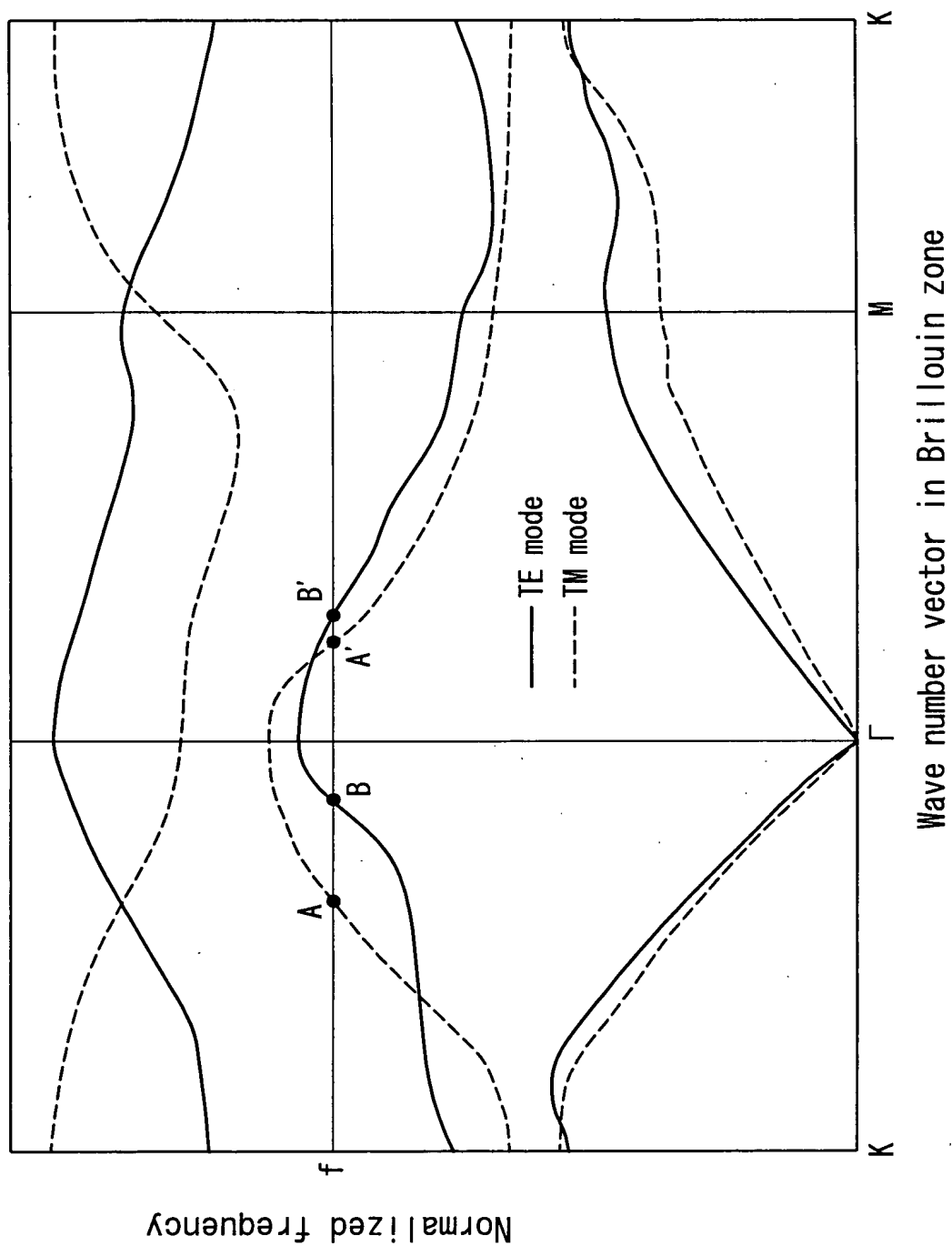


FIG. 2

202002071974001

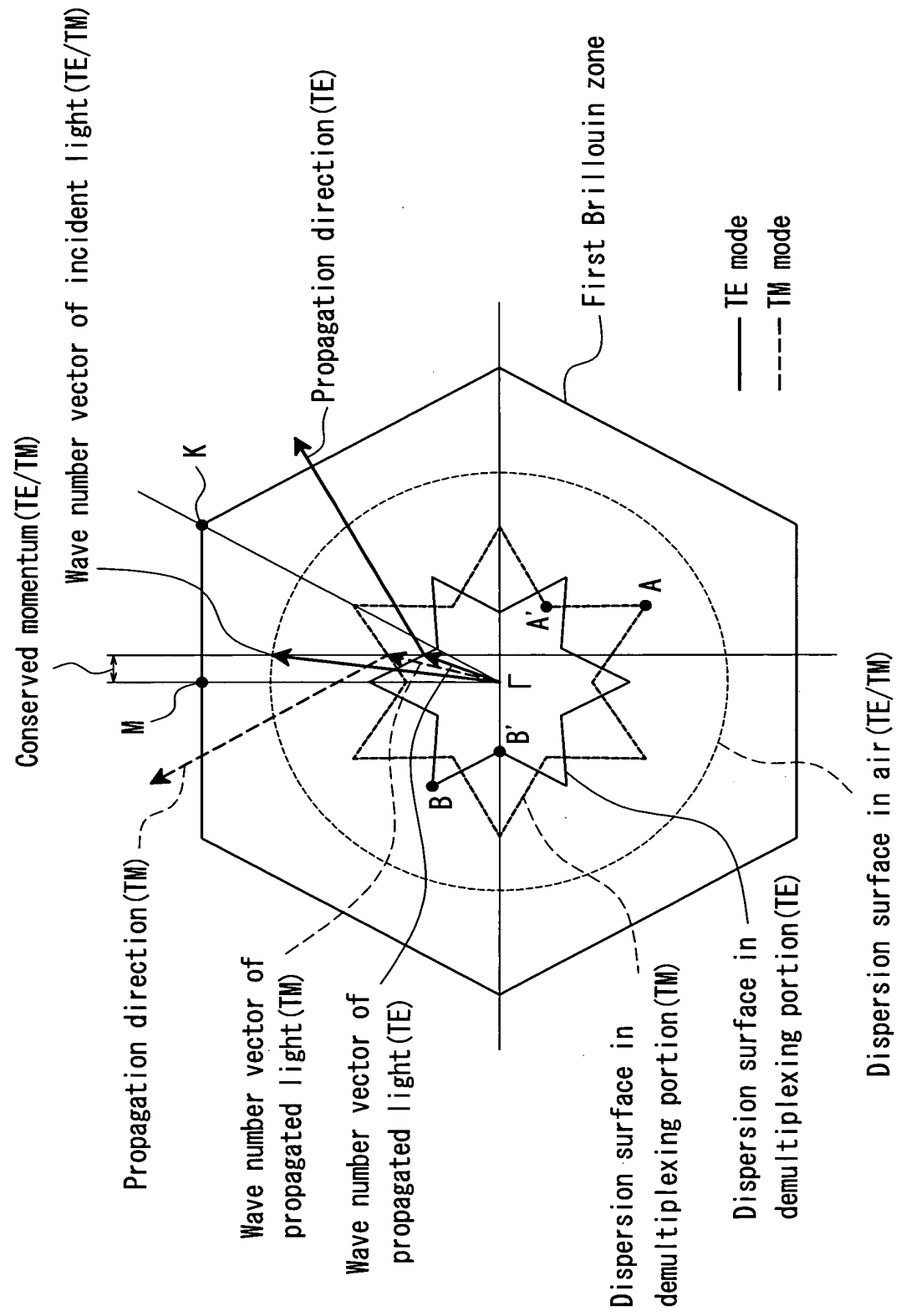


FIG. 3

FIG. 4A

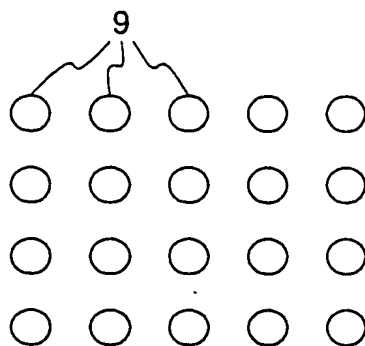


FIG. 4B

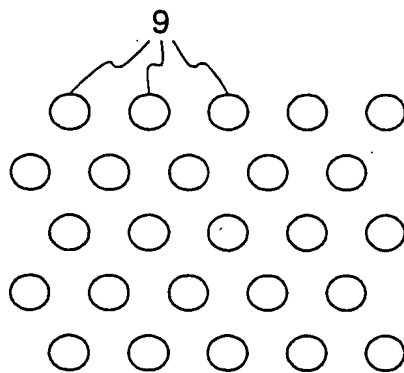
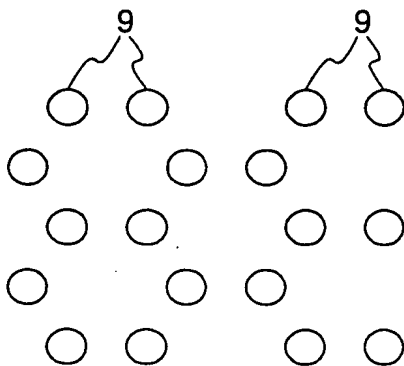


FIG. 4C



20200207 1617 020802

20080207 21912001

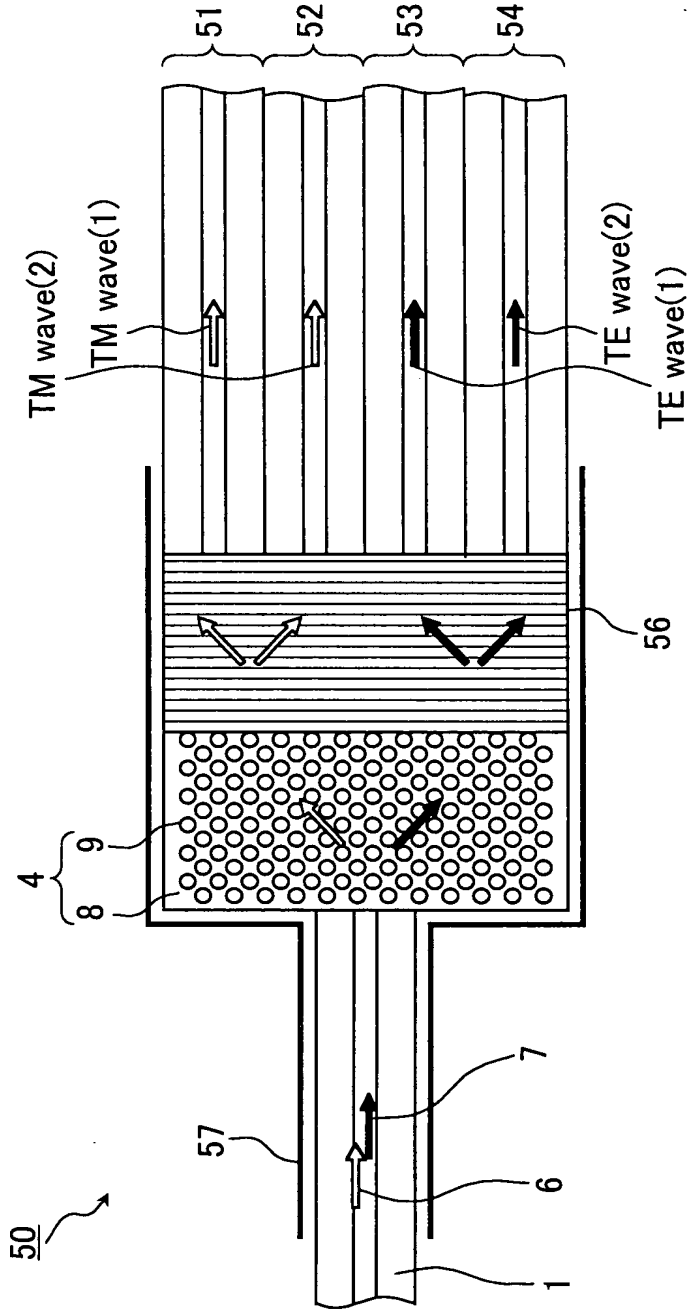


FIG. 5A

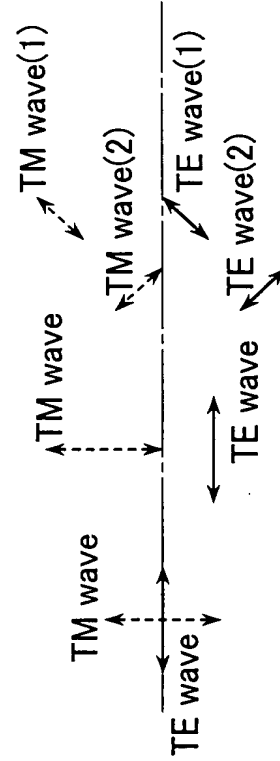
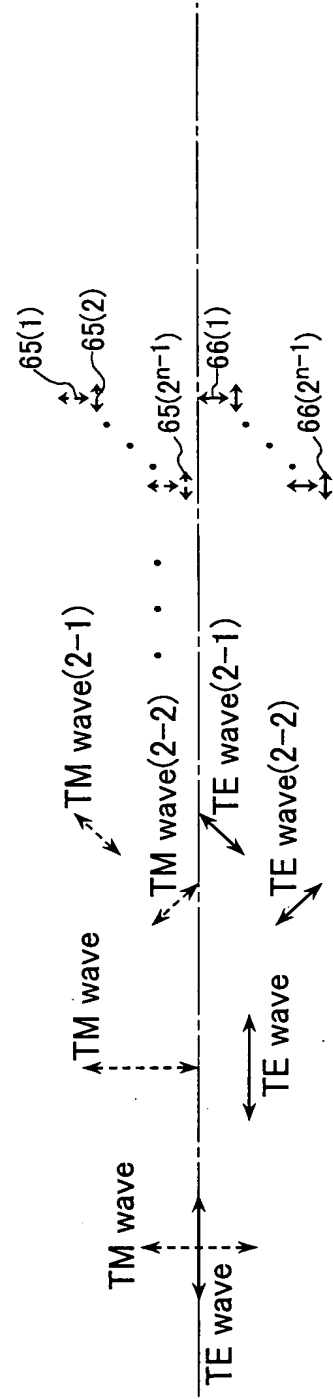
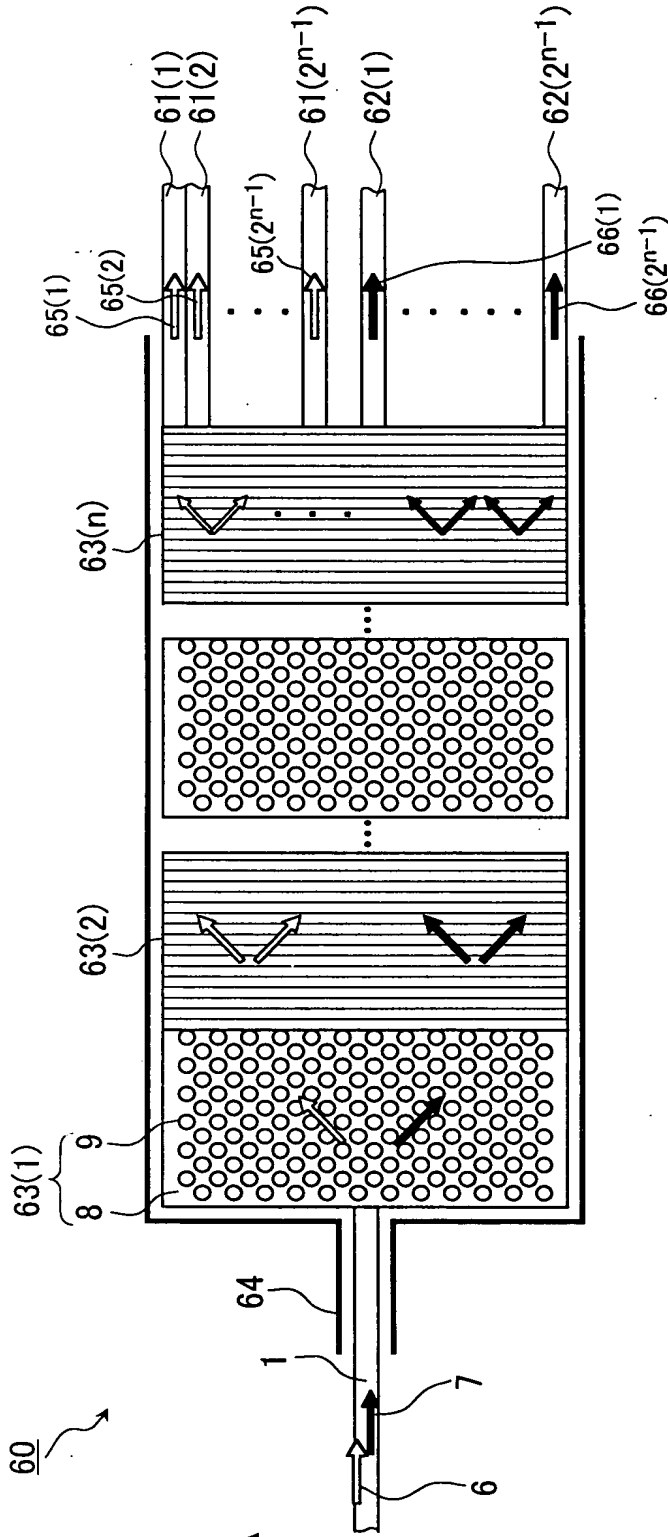
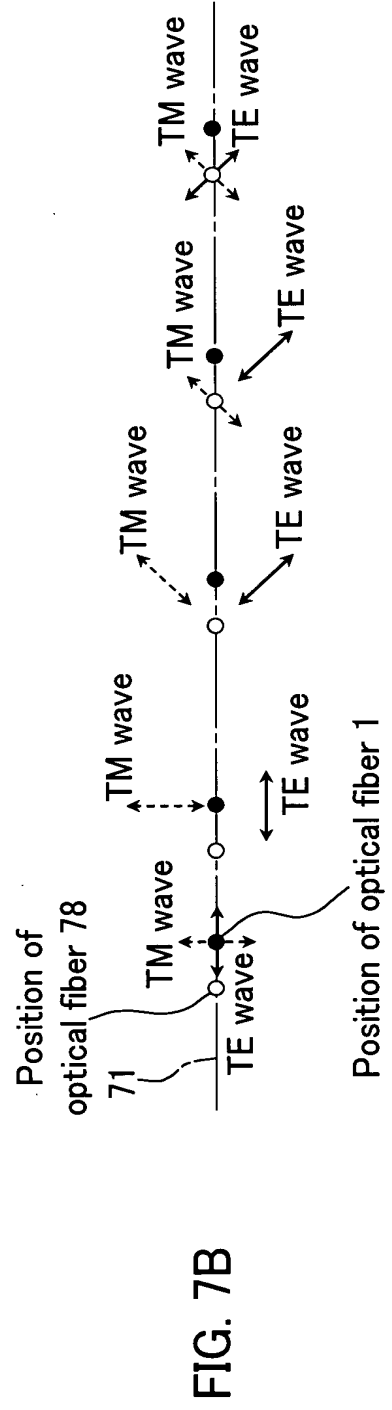
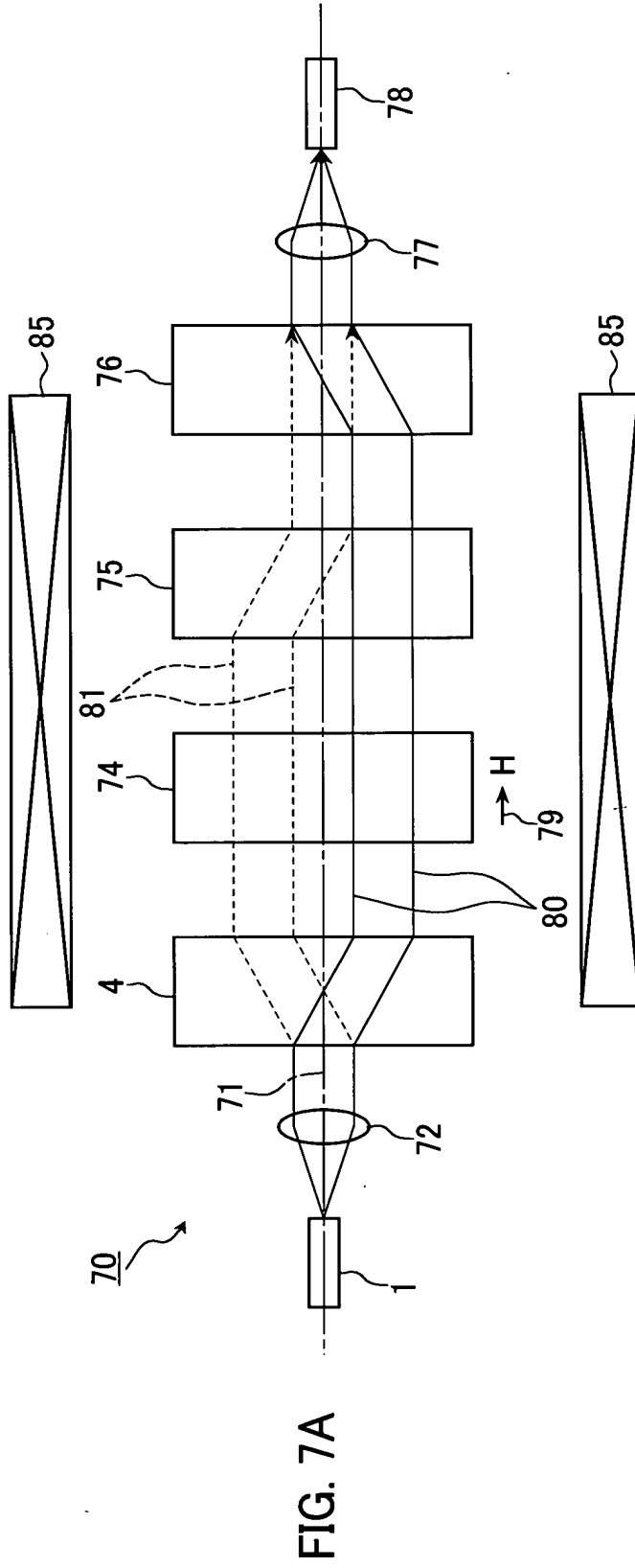


FIG. 5B





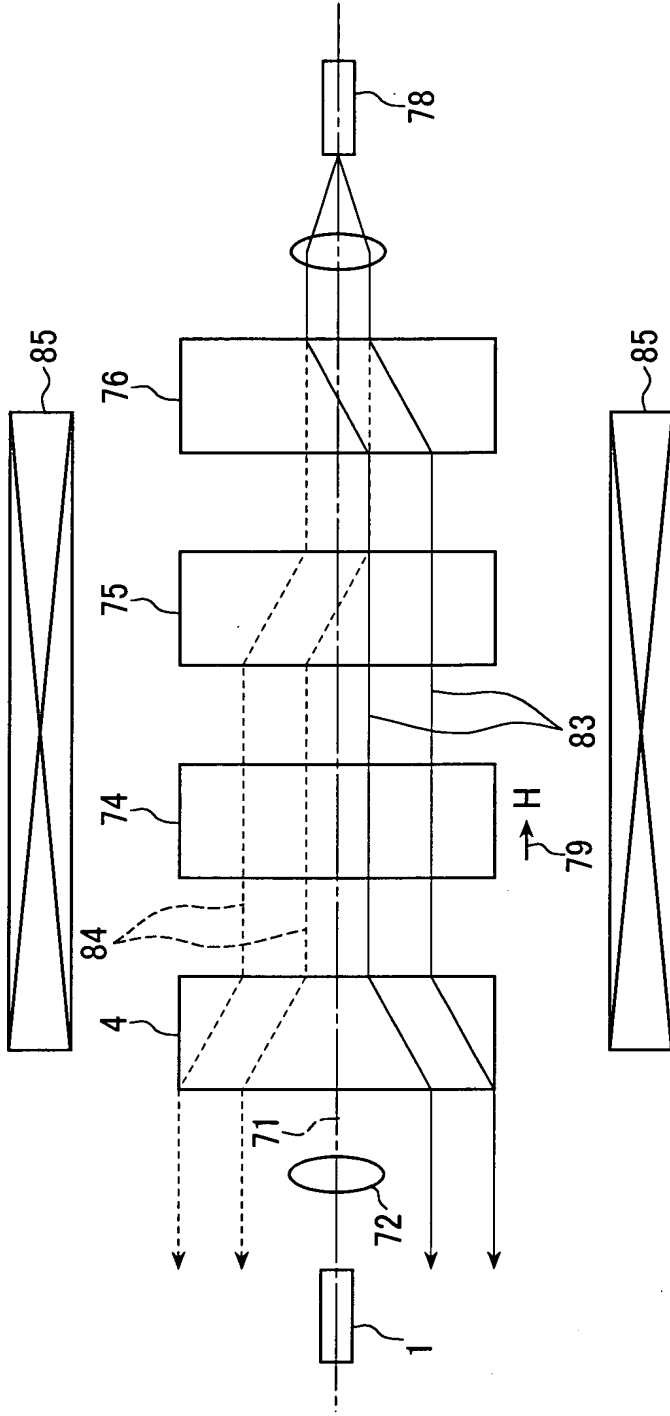


FIG. 8A

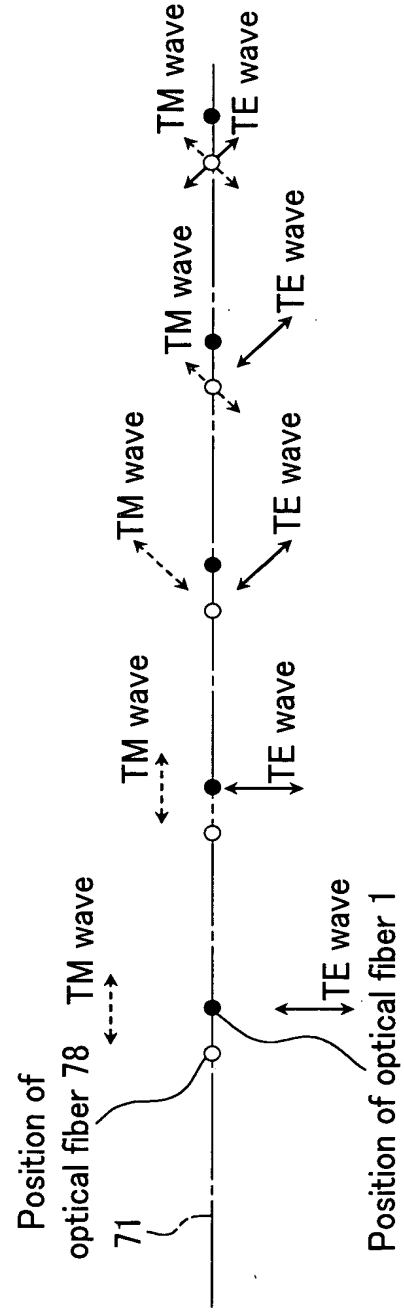


FIG. 8B

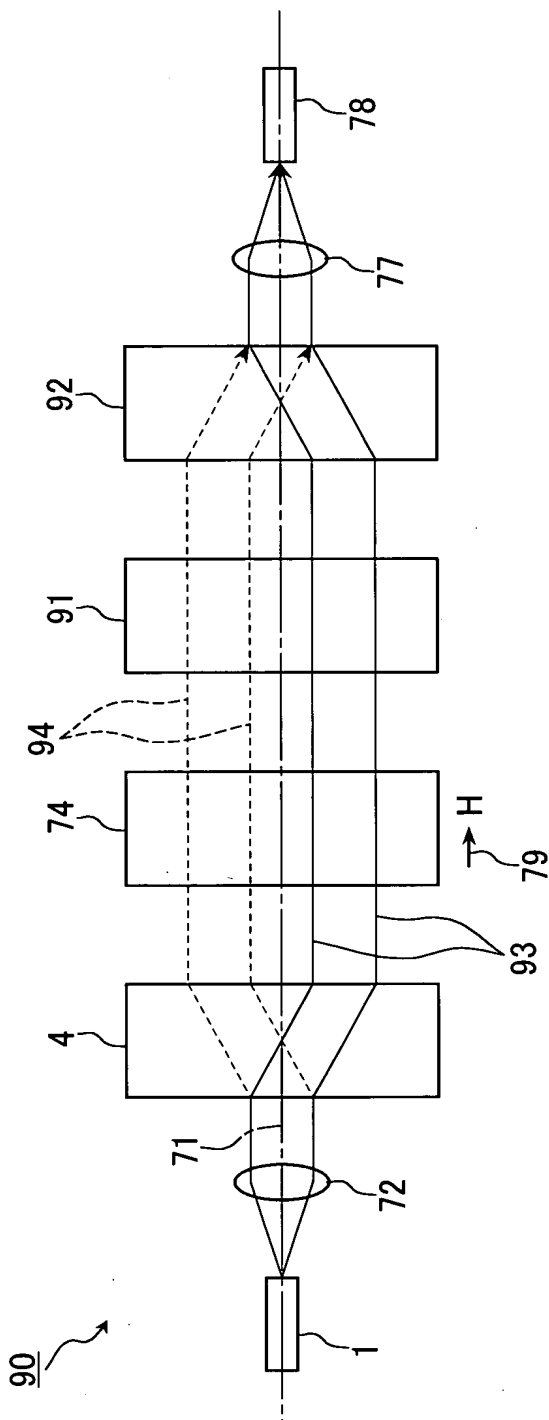


FIG. 9A

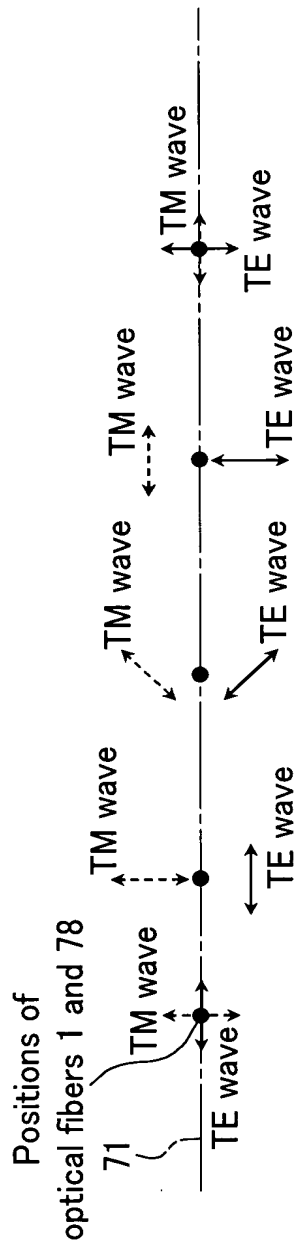


FIG. 9B

20200207/20200207

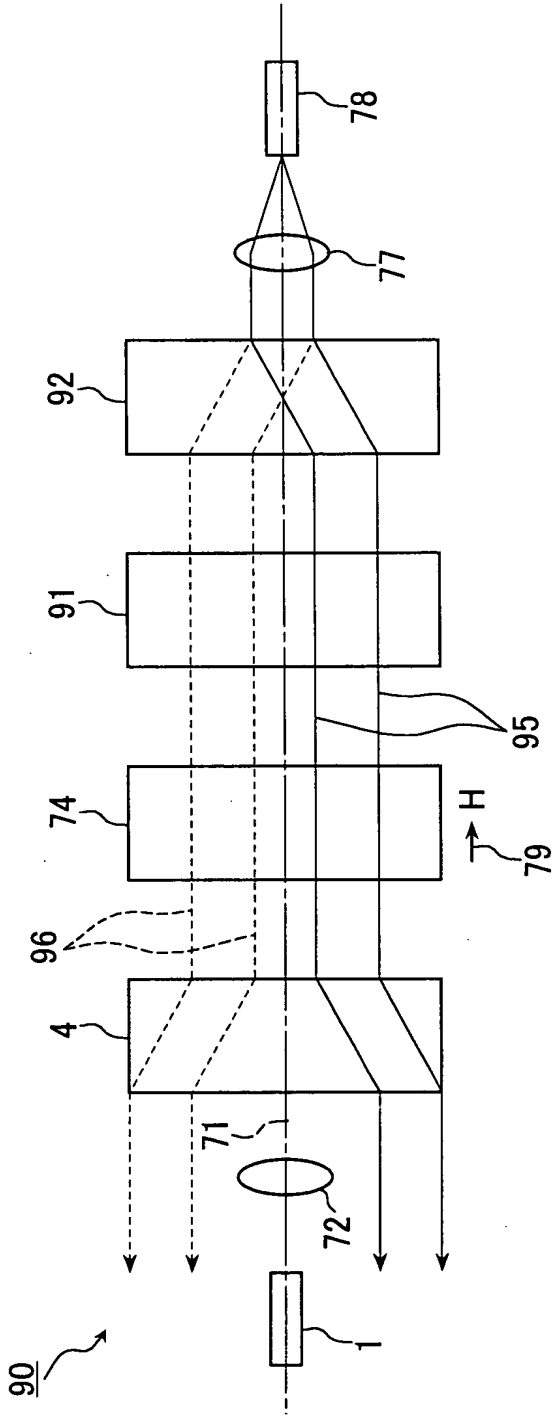


FIG. 10A

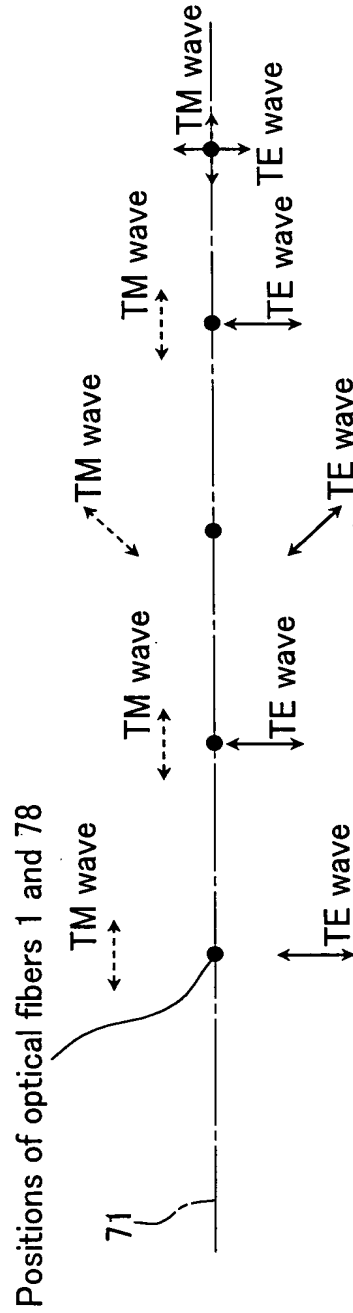


FIG. 10B

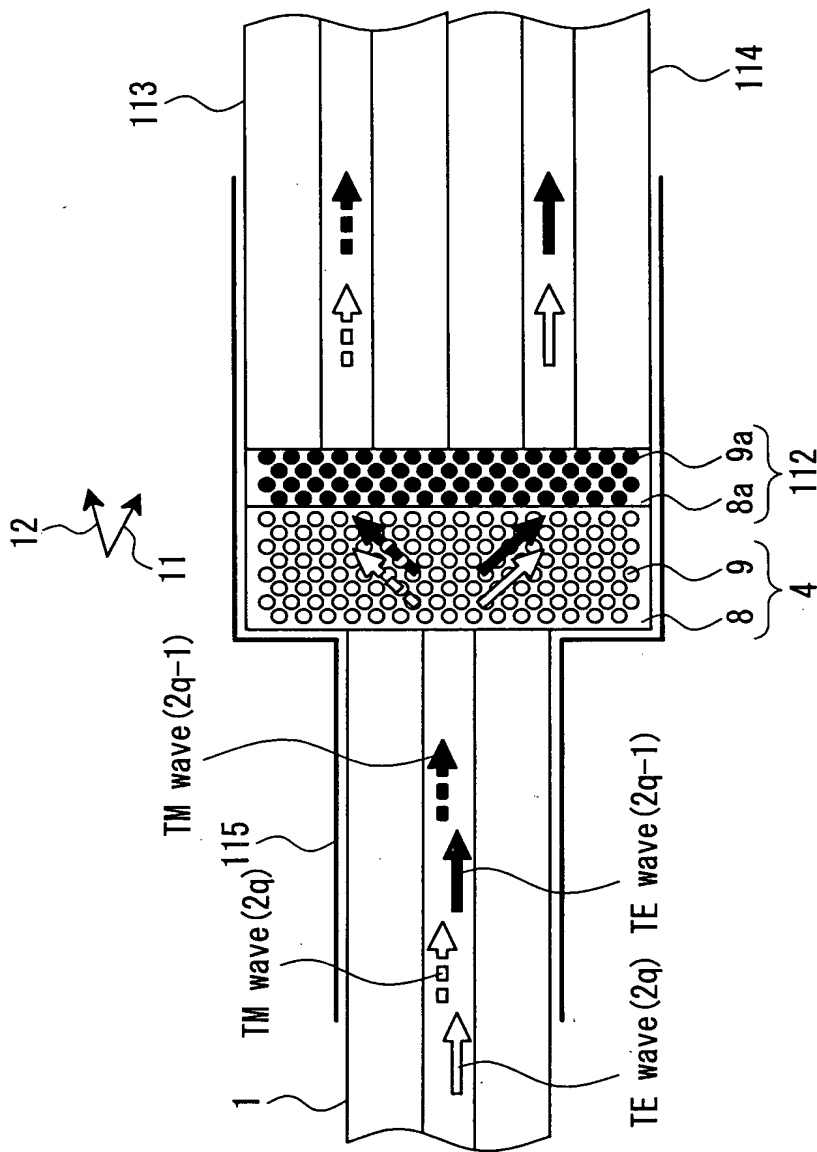


FIG. 11A

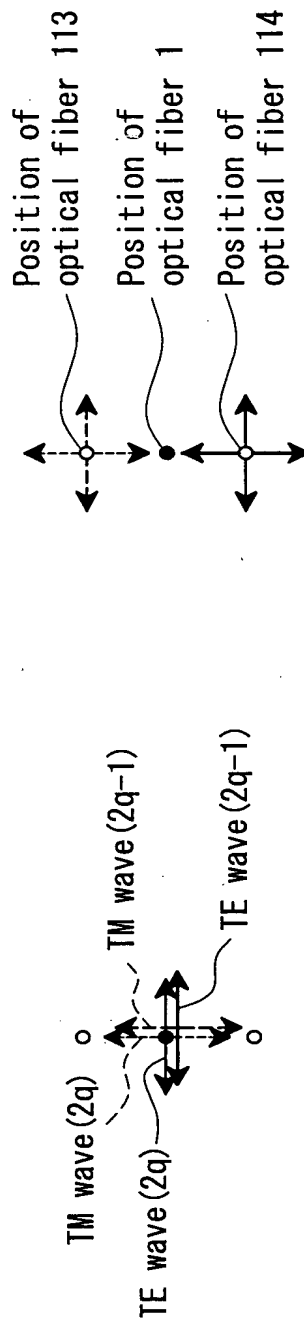
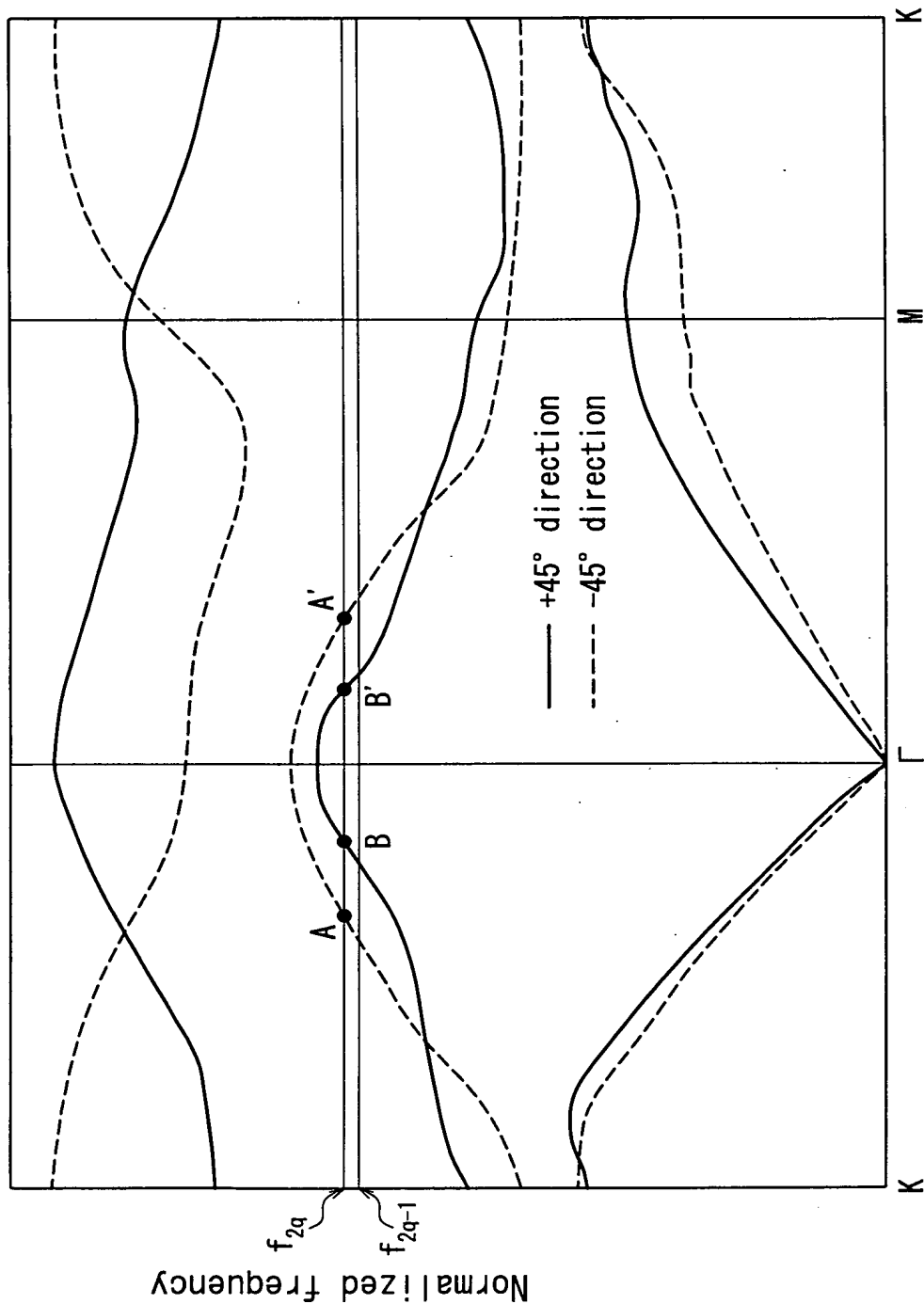


FIG. 11B



Wave number vector in Brillouin zone

FIG. 12

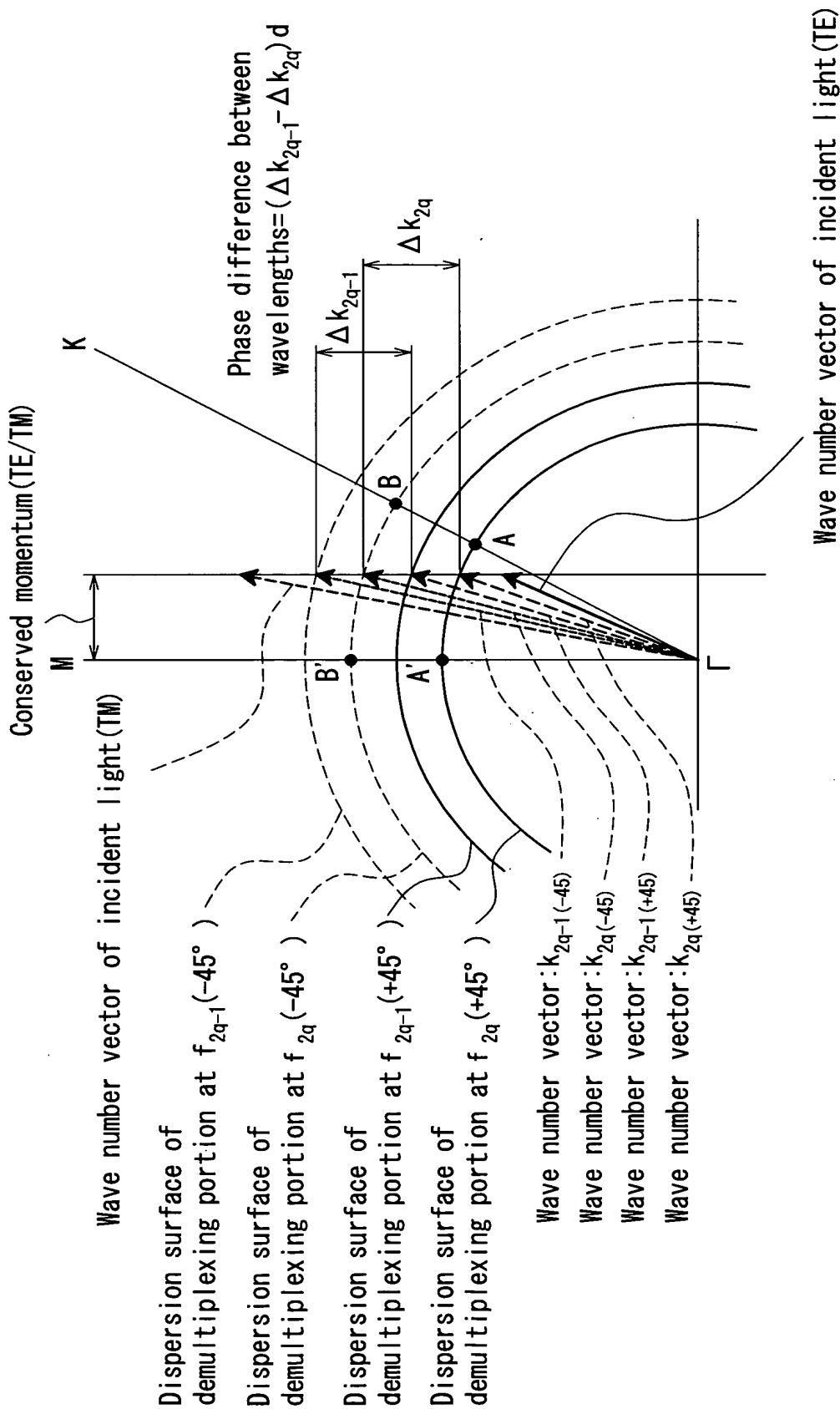
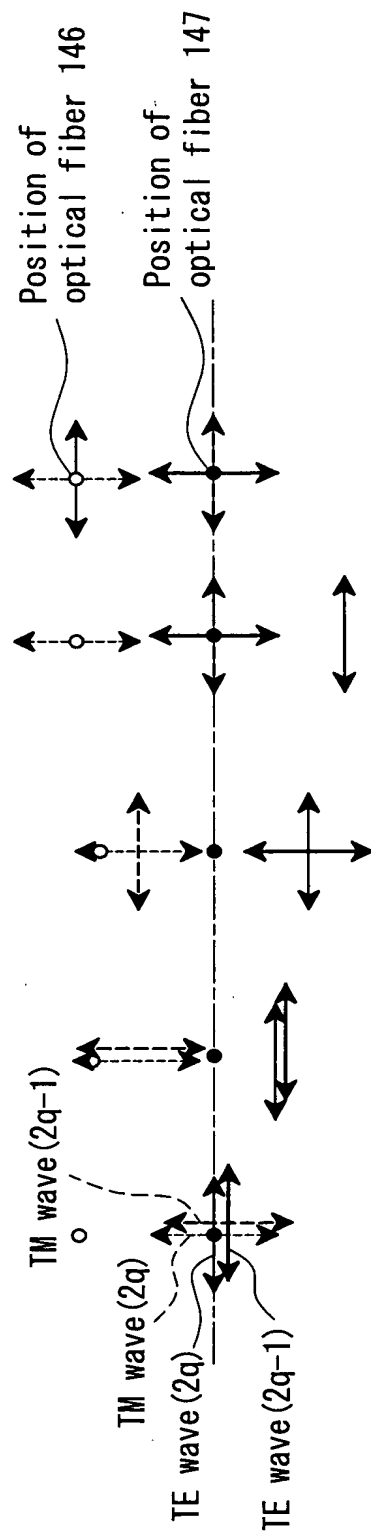
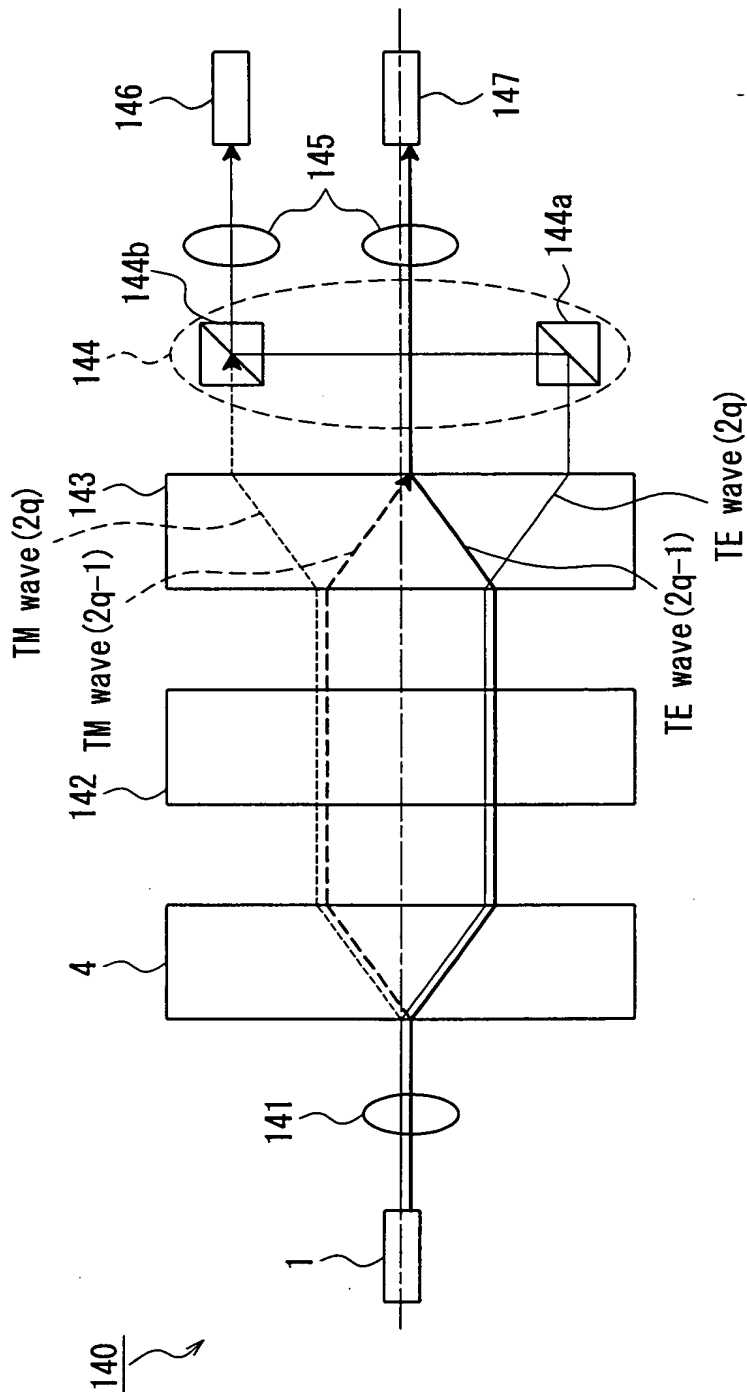


FIG. 13



203020-197200T

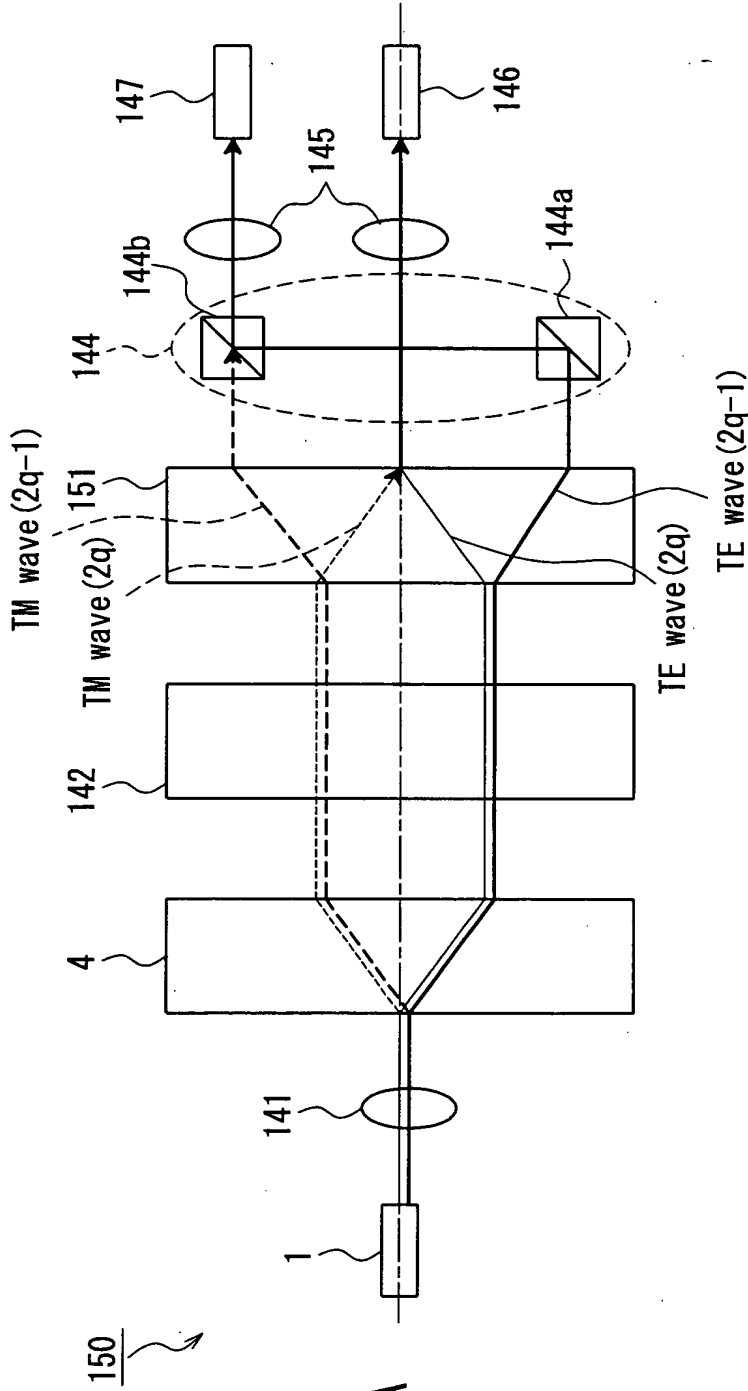


FIG. 15A

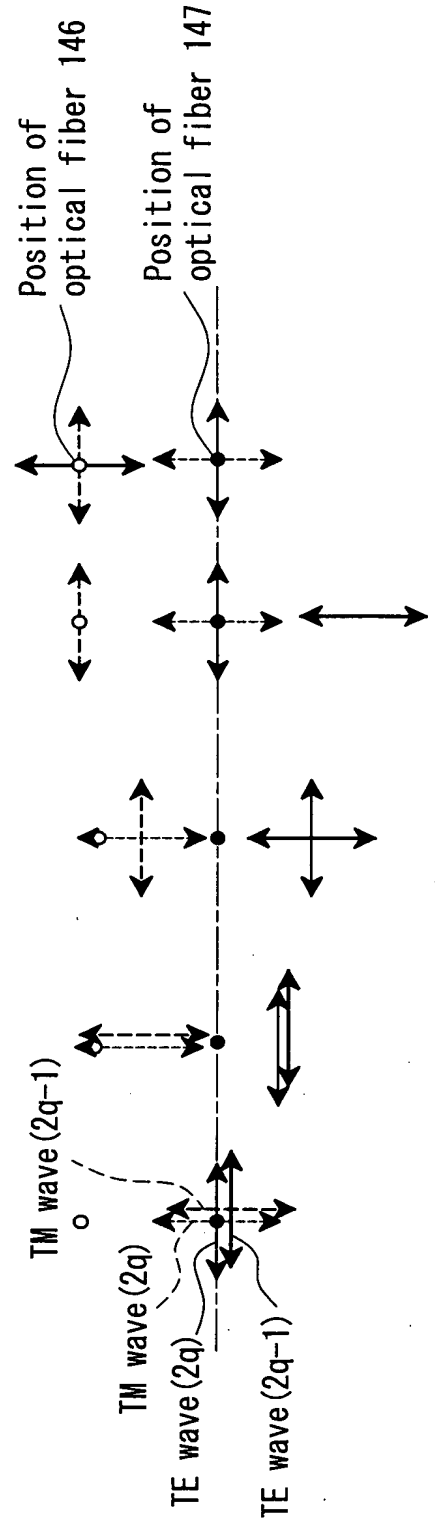


FIG. 15B

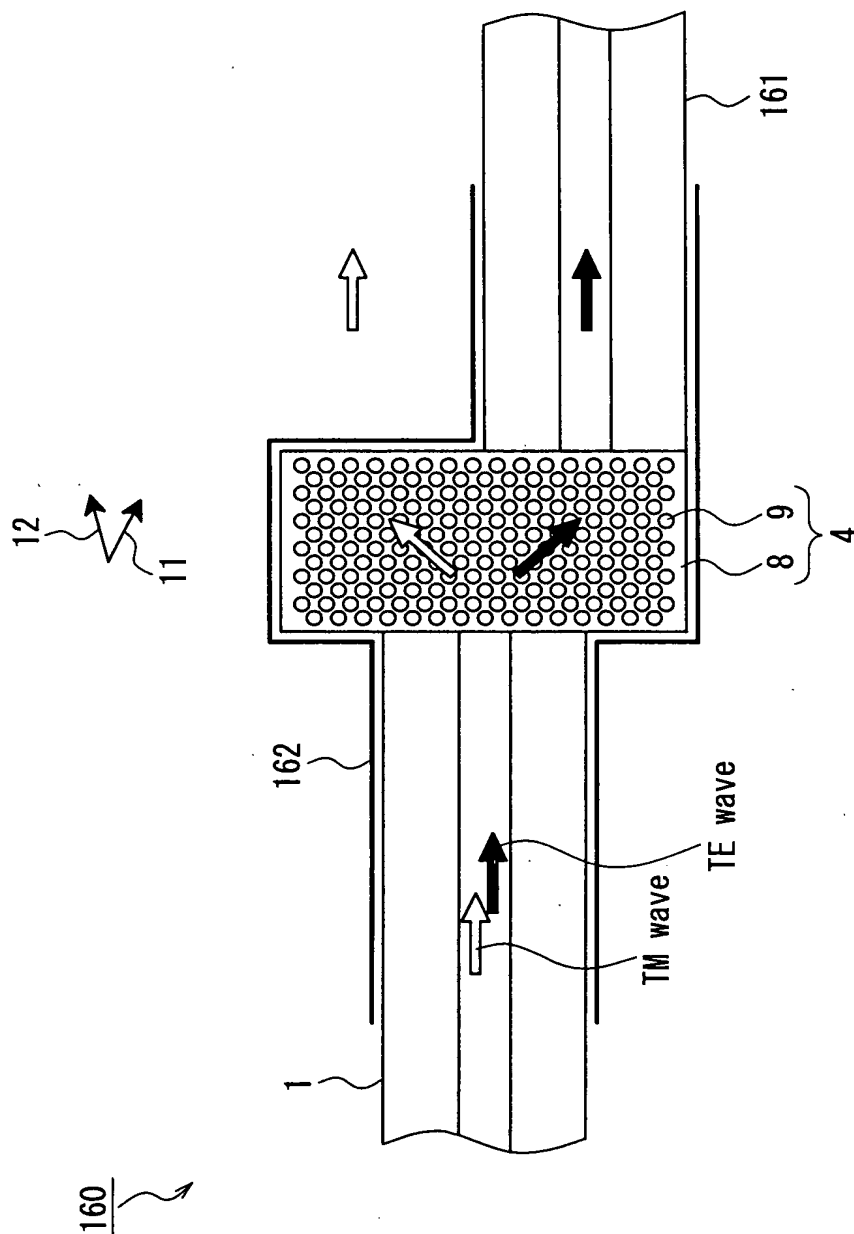
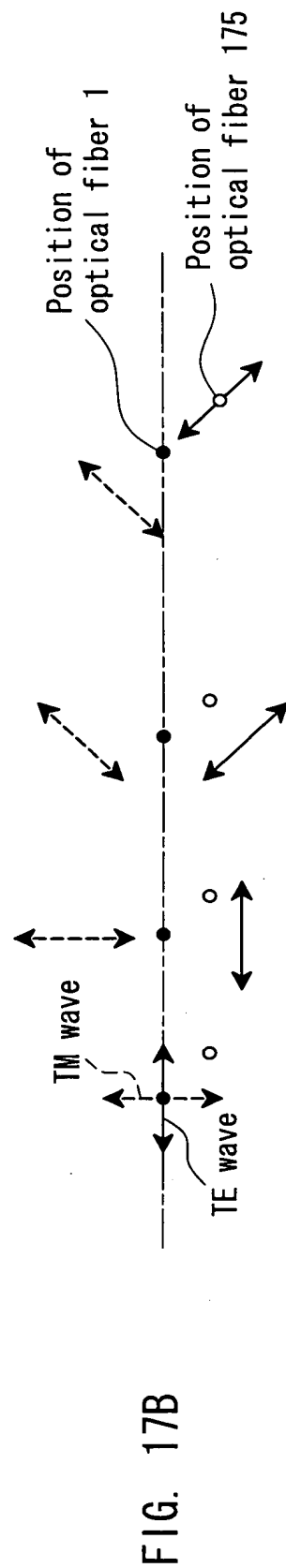
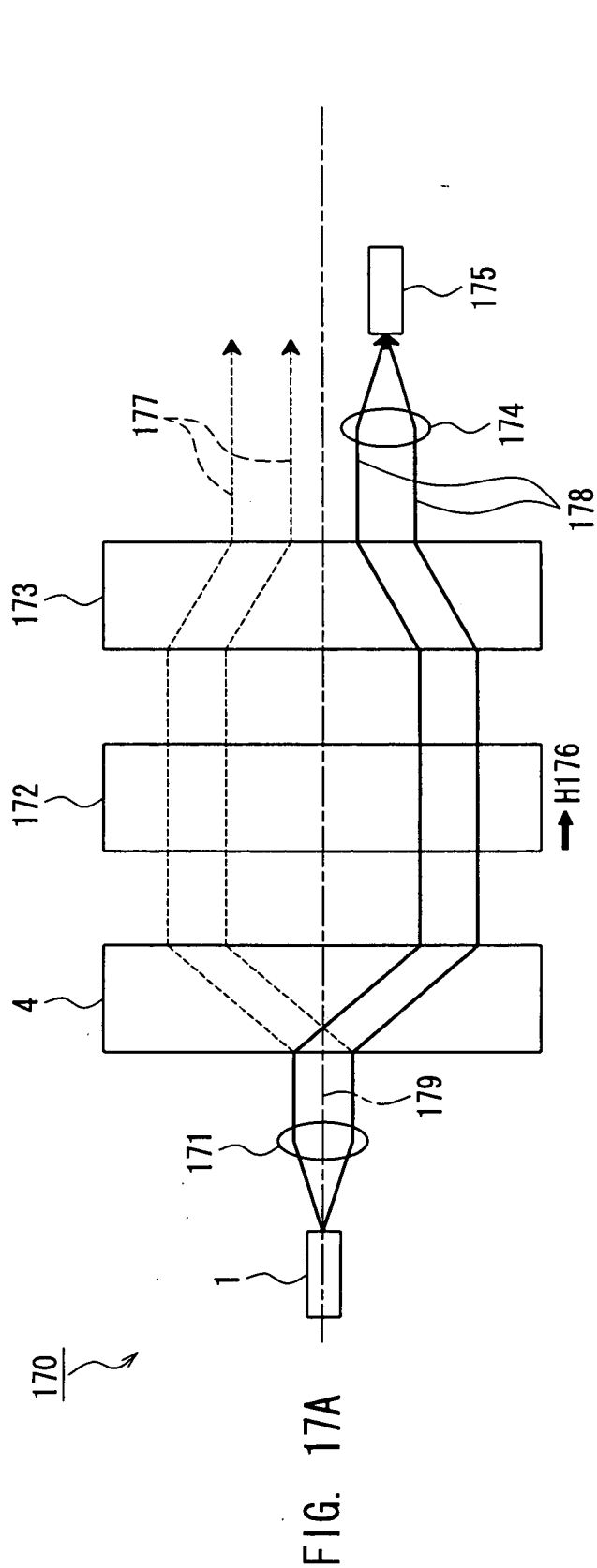
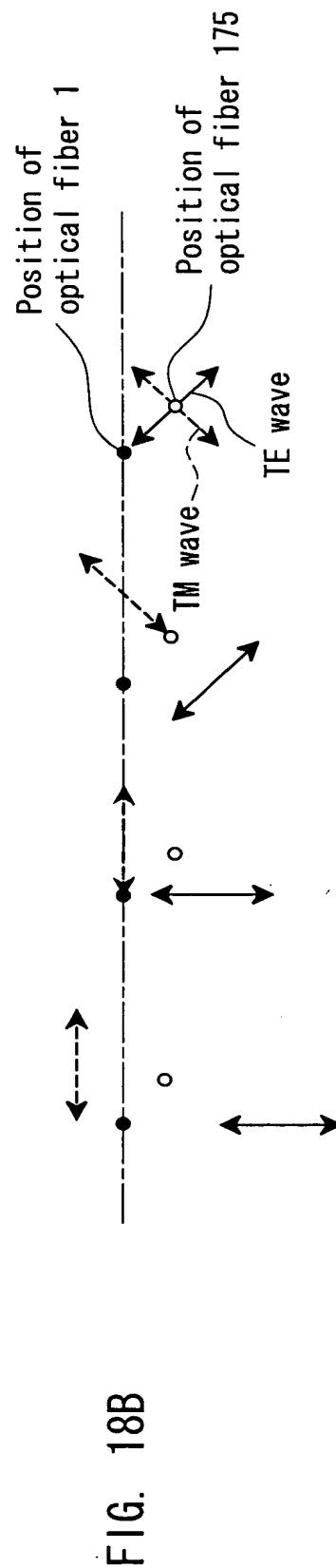
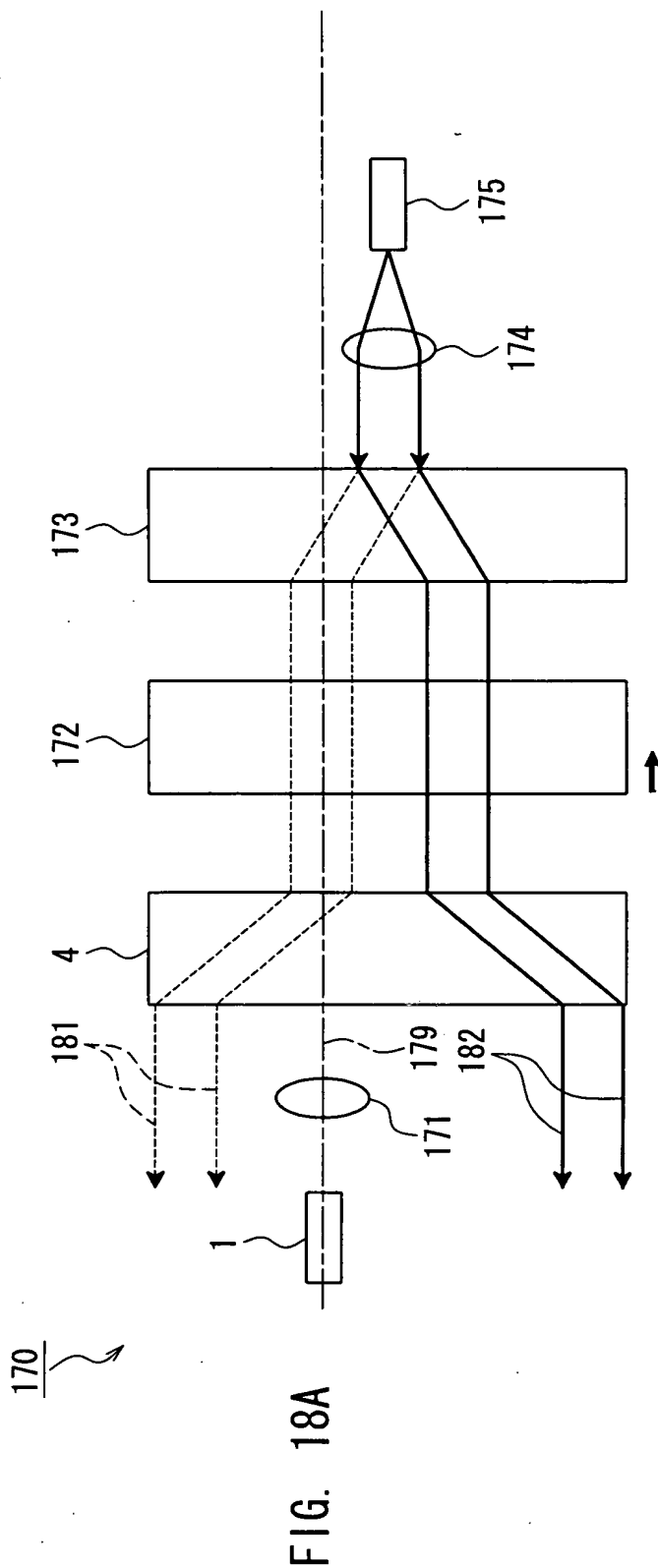
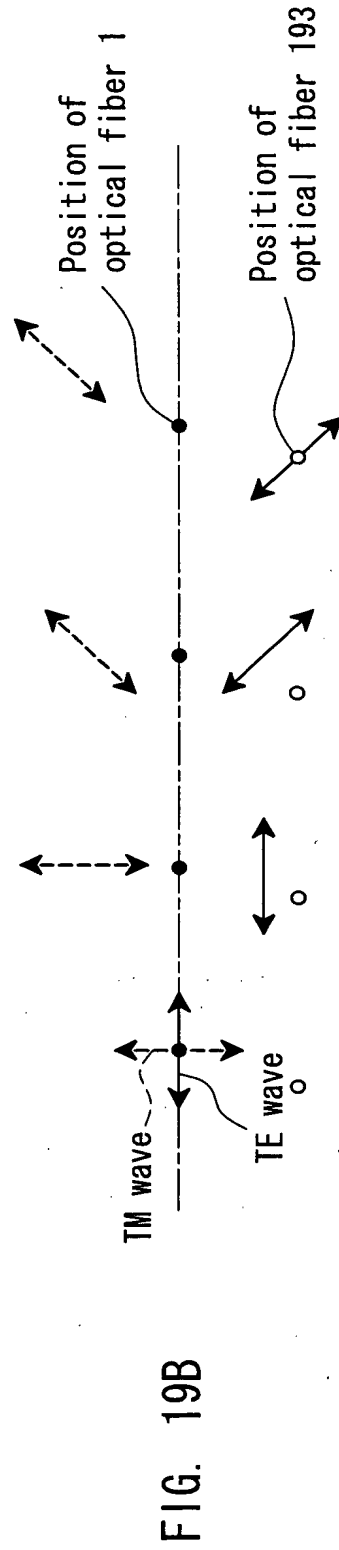
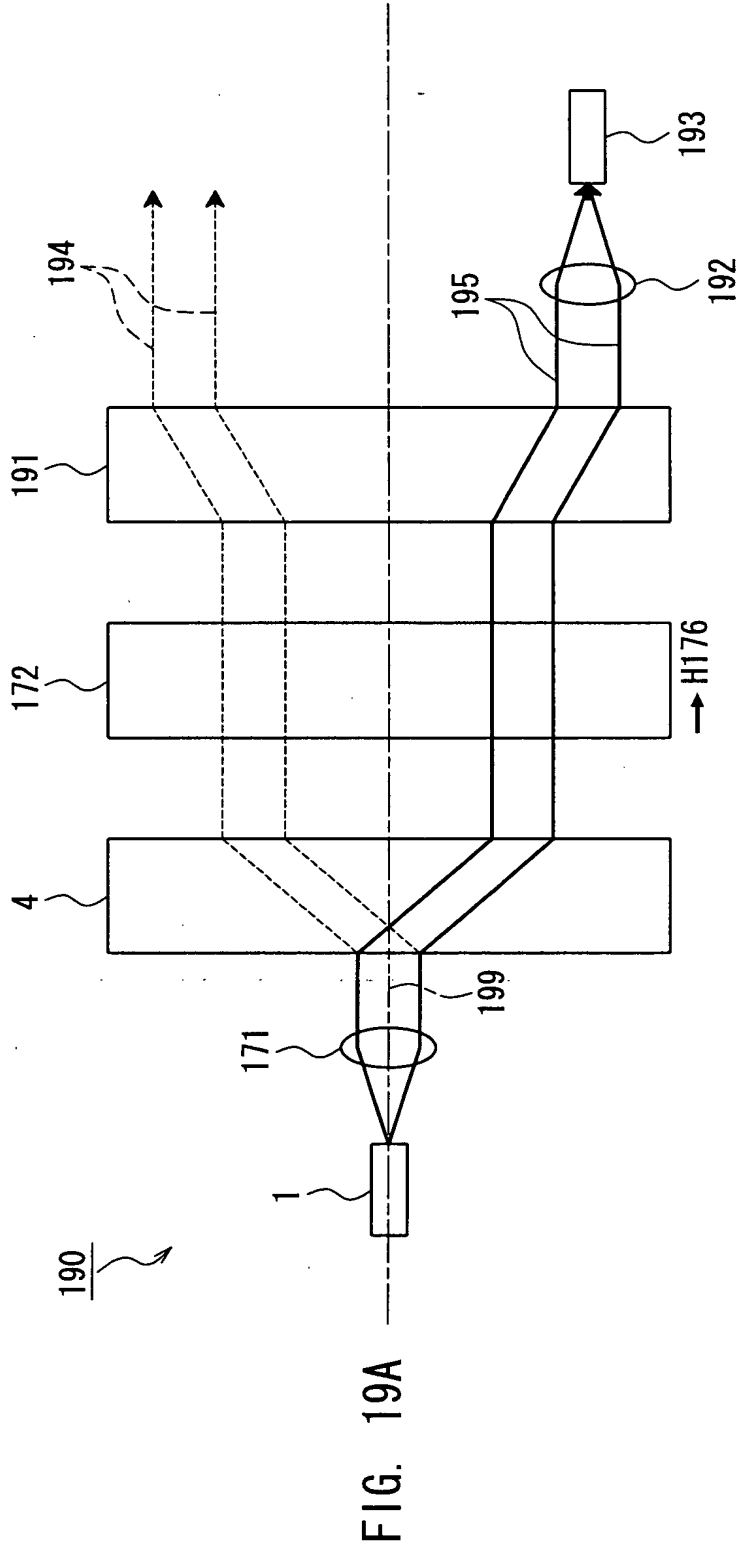


FIG. 16





2020020" 4T9T200T



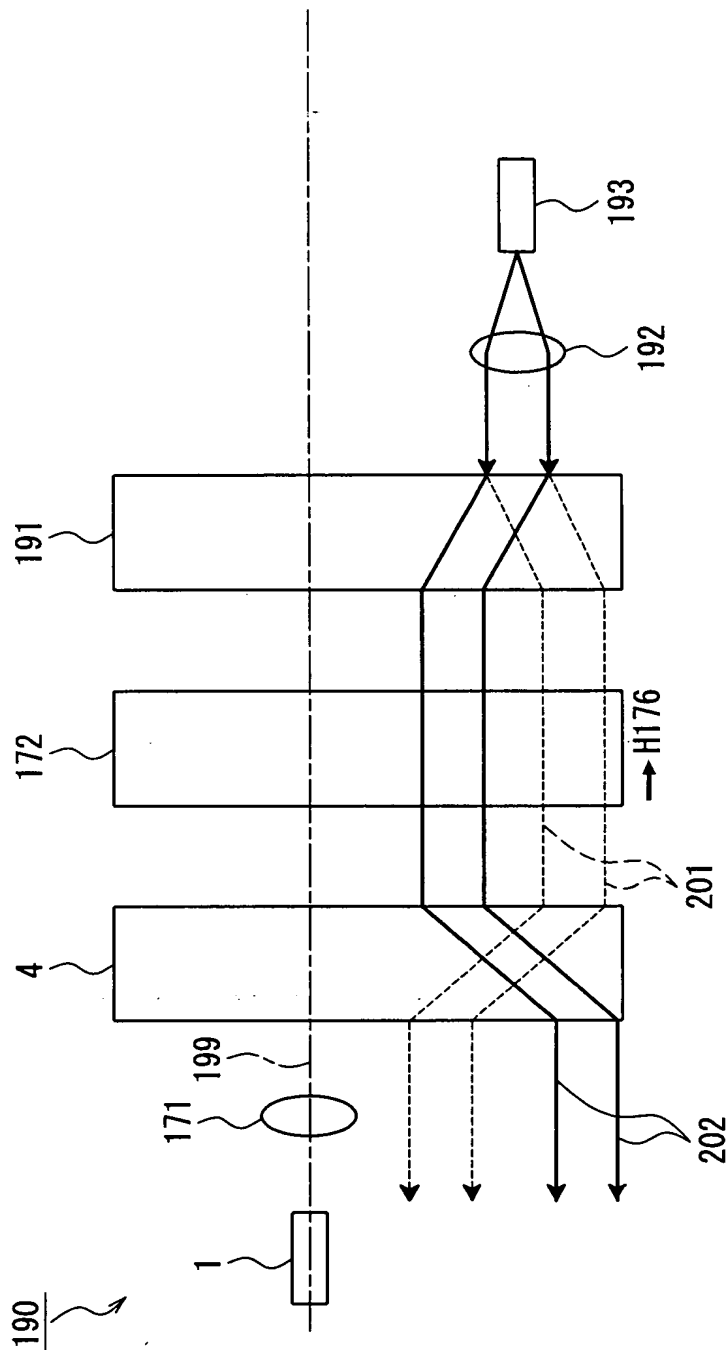


FIG. 20A

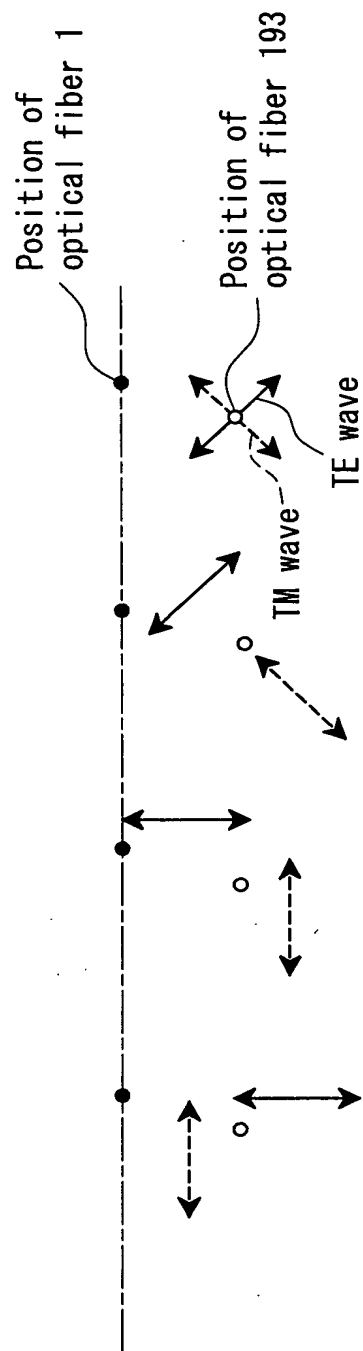


FIG. 20B

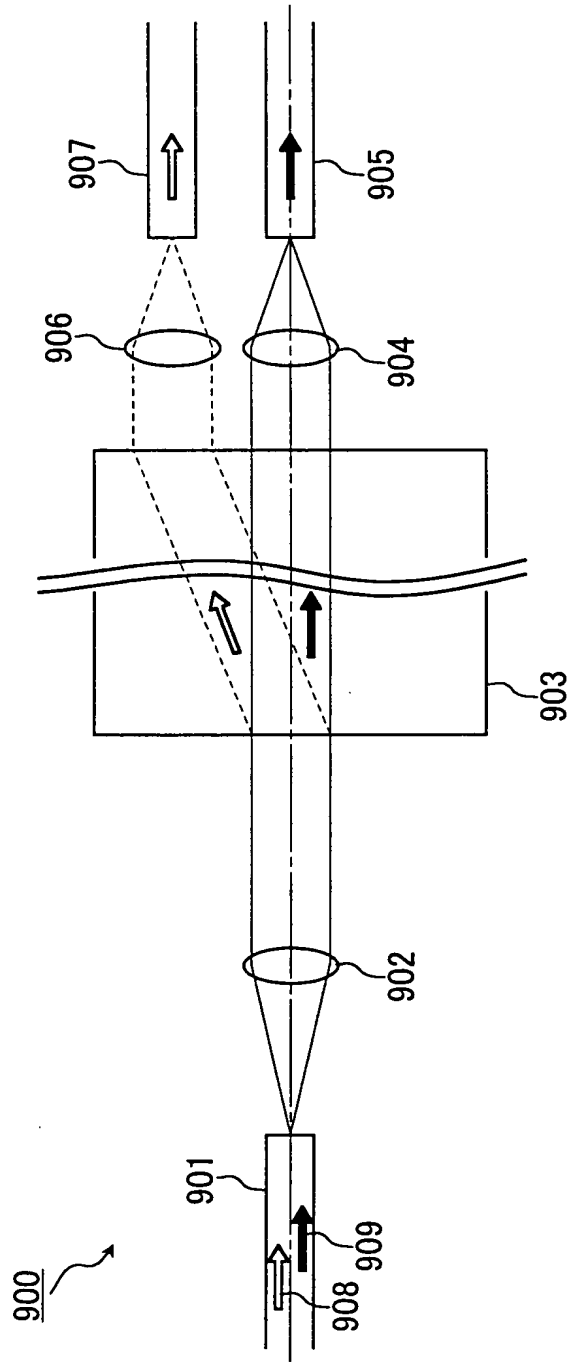


FIG. 21 (PRIOR ART)

208020-21912001

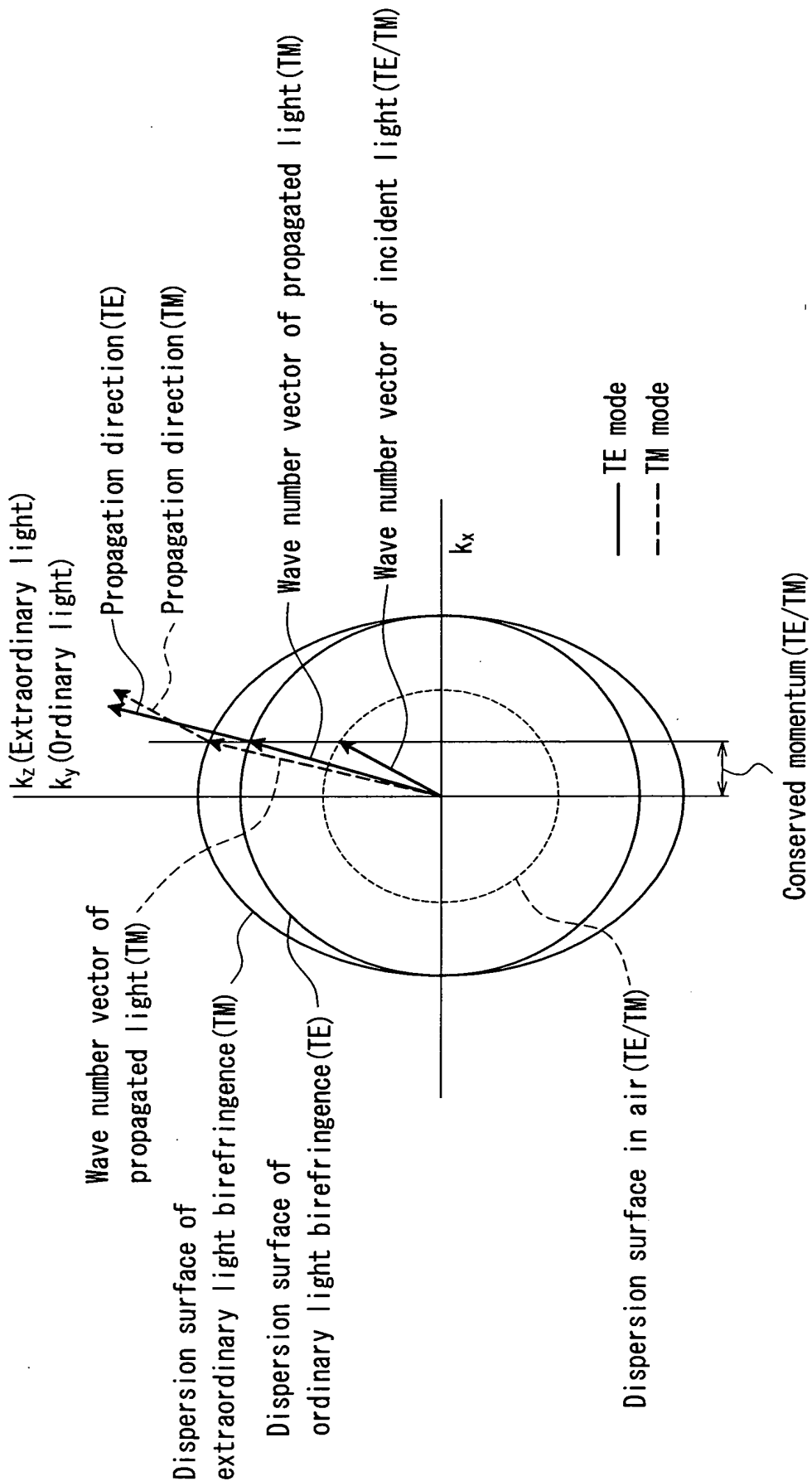


FIG. 22 (PRIOR ART)